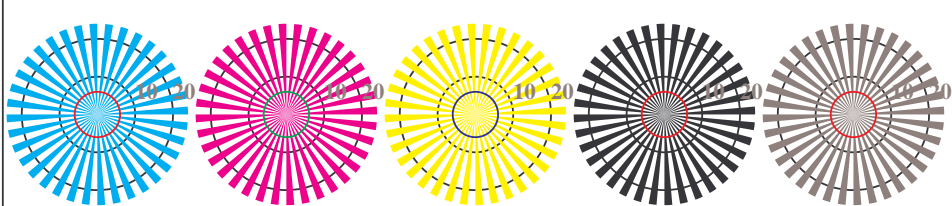
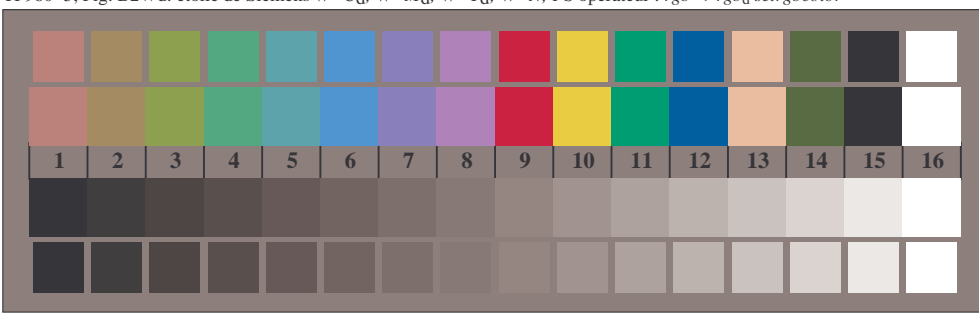




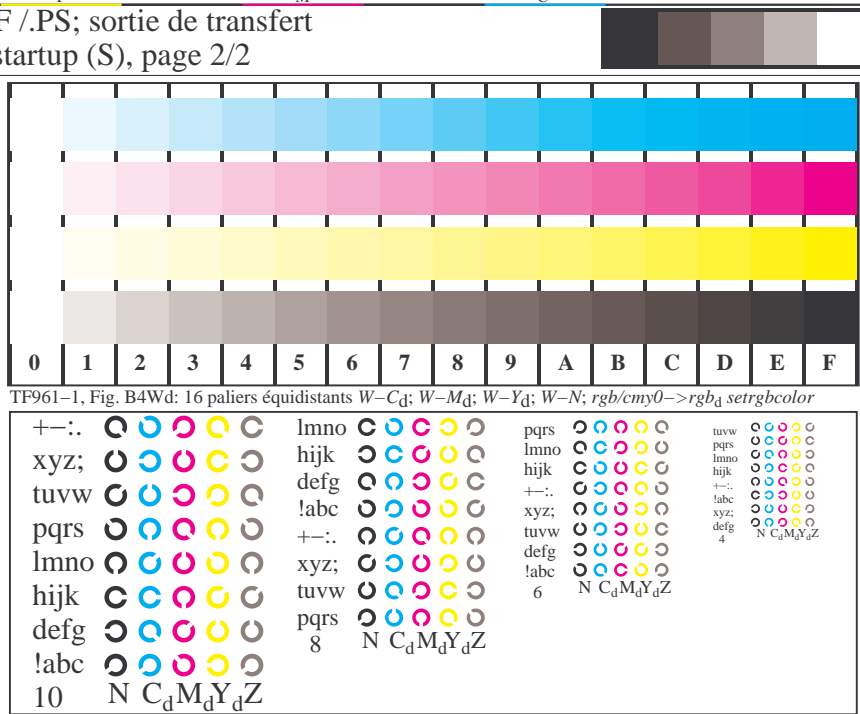
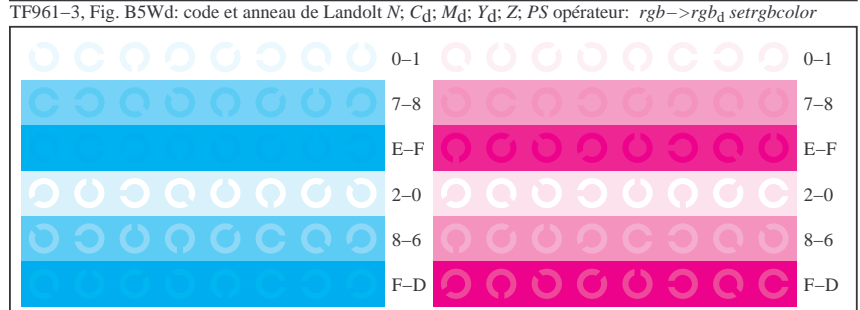
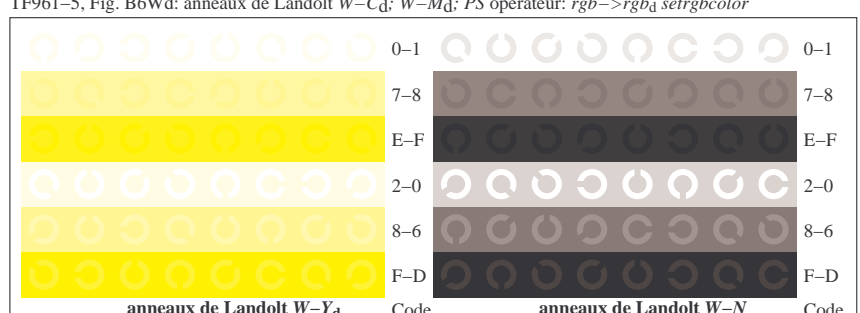
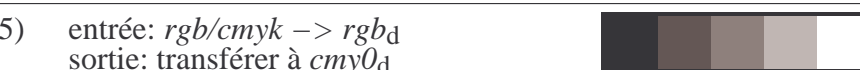
TF960-3, Fig. B1Wd: le motif fleuri, 14 CIE test couleurs et 2 + 16 gris étapes (nf); PS 4 colorimage



étoile Siemens W-Cd étoile Siemens W-Md étoile Siemens W-Yd étoile Siemens W-N étoile Siemens W-Z

TF960-5, Fig. B2Wd: étoile de Siemens W-Cd; W-Md; W-Yd; W-N; PS opérateur :  $rgb \rightarrow rgb_d$  setrgbcolorTF960-7, Fig. B3Wd: 14 CIE test couleurs et 2 + 16 paliers de gris (sf); PS opérateur:  $rgb/cmy0 \rightarrow rgb_d$  setrgbcolor

graphique TF96; 2(ISO/IEC 15775 + ISO/IEC TR 24705)  
chromatic graphique de test CMY, 3D=0, de=0, cmy0

TF961-1, Fig. B4Wd: 16 paliers équidistants W-Cd; W-Md; W-Yd; W-N;  $rgb/cmy0 \rightarrow rgb_d$  setrgbcolorTF961-3, Fig. B5Wd: code et anneau de Landolt N; Cd; Md; Yd; Z; PS opérateur:  $rgb \rightarrow rgb_d$  setrgbcolorTF961-5, Fig. B6Wd: anneaux de Landolt W-Cd; W-Md; PS opérateur:  $rgb \rightarrow rgb_d$  setrgbcolor

entrée:  $rgb/cmyk \rightarrow rgb_d$   
sortie: transférer à  $cmy0_d$